



تاریخ ارسال: ۹۹/۱۰/۴

باسمه تعالی

پروژه‌ی یک (نسخه نهایی)

دینامیک سیالات محاسباتی ۱

۶۵۸۳۰- گروه ۲

آقای دکتر کریم مظاهری

نیم سال اول سال تحصیلی ۱۳۹۹

دانشجو: سید محمدامین طالقانی

ش. دانشجویی: ۹۹۲۱۱۲۰۹

صفحه | 1

۱. ا.

برای مختصات استوانه‌ای

$$h_1 = h_2 = 1, h_3 = r; \quad x_1 = r, x_2 = \theta, x_3 = z$$

بنابراین

$$\nabla^2 T = \frac{1}{r} \left[\frac{\partial}{\partial r} \left(r \frac{\partial T}{\partial r} \right) + \frac{\partial}{\partial \theta} \left(\frac{1}{r} \frac{\partial T}{\partial \theta} \right) + \frac{\partial}{\partial z} \left(r \frac{\partial T}{\partial z} \right) \right] = \frac{1}{r} \left[\frac{\partial}{\partial r} \frac{\partial T}{\partial r} + r \frac{\partial^2 T}{\partial r^2} + \frac{1}{r} \frac{\partial^2 T}{\partial \theta^2} + r \frac{\partial^2 T}{\partial z^2} \right]$$

$$\nabla^2 T = \frac{1}{r} \left[r \left(\frac{1}{r} \frac{\partial T}{\partial r} + \frac{\partial^2 T}{\partial r^2} + \frac{1}{r^2} \frac{\partial^2 T}{\partial \theta^2} + \frac{\partial^2 T}{\partial z^2} \right) \right] = \left(\frac{1}{r} \frac{\partial T}{\partial r} + \frac{\partial^2 T}{\partial r^2} + \frac{1}{r^2} \frac{\partial^2 T}{\partial \theta^2} + \frac{\partial^2 T}{\partial z^2} \right)$$

$$\frac{\partial T}{\partial t} = \alpha \nabla^2 T \rightarrow \frac{\partial T}{\partial t} = \alpha \left(\frac{1}{r} \frac{\partial T}{\partial r} + \frac{\partial^2 T}{\partial r^2} + \frac{1}{r^2} \frac{\partial^2 T}{\partial \theta^2} + \frac{\partial^2 T}{\partial z^2} \right)$$

ب. در کد پیوست شده به پروژه، هفت روش به ازای مقدار معینی از تقسیمات شبکه اجرا می‌شوند. در این بخش، معادلات گسسته‌سازی شده‌ی در هر روش ارائه می‌گردند:

- روش تکراری ژاکوبی:

$$\frac{T_{i+1,j}^n - 2T_{i,j}^{n+1} + T_{i-1,j}^n}{\Delta r^2} + \frac{1}{r_{i,j}} \frac{T_{i+1,j}^n - T_{i-1,j}^n}{2\Delta r} + \frac{1}{r_{i,j}^2} \frac{T_{i,j+1}^n - 2T_{i,j}^{n+1} + T_{i,j-1}^n}{(\Delta \theta)^2} = 0$$

$$T_{i,j}^{n+1} = \frac{\frac{T_{i+1,j}^n + T_{i-1,j}^n}{\Delta r^2} + \frac{T_{i+1,j}^n - T_{i-1,j}^n}{2r_{i,j}\Delta r} + \frac{T_{i,j+1}^n + T_{i,j-1}^n}{(r_{i,j}\Delta \theta)^2}}{2\left(\frac{1}{\Delta r^2} + \frac{1}{(r_{i,j}\Delta \theta)^2}\right)}$$

- روش تکراری گاوس-سایدل نقطه‌ای:



$$T_{i,j}^{n+1} = \frac{\frac{T_{i+1,j}^n + T_{i-1,j}^{n+1}}{\Delta r^2} + \frac{T_{i+1,j}^n - T_{i-1,j}^{n+1}}{2r_{i,j}\Delta r} + \frac{T_{i,j+1}^n + T_{i,j-1}^{n+1}}{(r_{i,j}\Delta\theta)^2}}{2\left(\frac{1}{\Delta r^2} + \frac{1}{(r_{i,j}\Delta\theta)^2}\right)}$$

- روش تکراری گاوس-سایدل خطی (جاروب در راستای r):

$$\left(\frac{1}{(\Delta r)^2} - \frac{1}{2r_{i,j}\Delta r}\right)T_{i-1,j}^{n+1} - 2\left(\frac{1}{(\Delta r)^2} + \frac{1}{(r_{i,j}\Delta\theta)^2}\right)T_{i,j}^{n+1} + \left(\frac{1}{(\Delta r)^2} + \frac{1}{2r_{i,j}\Delta r}\right)T_{i+1,j}^{n+1} = -\frac{T_{i,j+1}^n + T_{i,j-1}^n}{(r_{i,j}\Delta\theta)^2}$$

$$A_{i,j}T_{i-1,j}^{n+1} + B_{i,j}T_{i,j}^{n+1} + C_{i,j}T_{i+1,j}^{n+1} = R_{i,j}$$

در این روش، ماتریس در نظر گرفته شده بدین صورت است:

$$\begin{pmatrix} B_{2,j} & C_{2,j} & 0 & \dots & 0 & 0 & 0 & 0 \\ A_{3,j} & B_{3,j} & C_{3,j} & 0 & \dots & 0 & 0 & 0 \\ 0 & A_{4,j} & B_{4,j} & C_{4,j} & 0 & \dots & 0 & 0 \\ 0 & 0 & A_{5,j} & B_{5,j} & C_{5,j} & 0 & \vdots & \vdots \\ \vdots & \vdots & \ddots & \ddots & \ddots & \ddots & \vdots & \vdots \\ \vdots & \vdots & \ddots & \ddots & \ddots & \ddots & 0 & 0 \\ 0 & 0 & \dots & 0 & A_{I_{\max}-3,j} & B_{I_{\max}-3,j} & C_{I_{\max}-3,j} & 0 \\ 0 & 0 & 0 & \dots & 0 & A_{I_{\max}-2,j} & B_{I_{\max}-2,j} & C_{I_{\max}-2,j} \\ 0 & 0 & 0 & 0 & \dots & 0 & A_{I_{\max}-1,j} & B_{I_{\max}-1,j} \end{pmatrix} \begin{pmatrix} T_{2,j} \\ T_{3,j} \\ T_{4,j} \\ T_{5,j} \\ \vdots \\ \vdots \\ T_{I_{\max}-3,j} \\ T_{I_{\max}-2,j} \\ T_{I_{\max}-1,j} \end{pmatrix} = \begin{pmatrix} R_{2,j} - A_{2,j}T_{1,j} \\ R_{3,j} \\ R_{4,j} \\ R_{5,j} \\ \vdots \\ \vdots \\ R_{I_{\max}-3,j} \\ R_{I_{\max}-2,j} \\ R_{I_{\max}-1,j} - C_{I_{\max}-1,j}T_{I_{\max},j} \end{pmatrix}$$

نحوه پر کردن ماتریس برای نقاط $i = 2$ الی $i = I_{\max}$ مشابه یک دیگر است. بنابراین، در کد نوشته شده سطرهای مربوط به این نقاط در یک حلقه پر شده‌اند و سطر ابتدایی و انتهایی ماتریس در خارج حلقه مقداردهی شده است. این ماتریس یک ماتریس سه قطری است و از به وسیله‌ی الگوریتم توماس نوشته شده در کد، حل می‌گردد. لازم به ذکر است که تابع $(A [] [j_{\max}], B [])$ thomas به کار گرفته شده در کد با بررسی الگوریتم توماس در پیوست کتاب هافمن نوشته شده است و از الگوریتم آماده و ارسال شده استفاده نگردیده است. همچنین تابع ذکر



شده بر خلاف الگوریتم‌های آماده، کل آرایه‌ی حاوی ماتریس ضرایب و معلومات را یک‌جا دریافت می‌کند و مقدار همه‌ی مجهولات را به صورت یک بردار بر می‌گرداند.

- روش تکراری گاوس-سایدل خطی (جاروب در راستای θ):

$$\left(\frac{1}{(r_{i,j}\Delta\theta)^2}\right)T_{i,j-1}^{n+1} - 2\left(\frac{1}{(\Delta r)^2} + \frac{1}{(r_{i,j}\Delta\theta)^2}\right)T_{i,j}^{n+1} + \left(\frac{1}{(r_{i,j}\Delta\theta)^2}\right)T_{i,j+1}^{n+1} = -\left(\frac{1}{(\Delta r)^2} - \frac{1}{2r_{i,j}\Delta r}\right)T_{i-1,j}^n - \left(\frac{1}{(\Delta r)^2} + \frac{1}{2r_{i,j}\Delta r}\right)T_{i+1,j}^n$$

$$A_{i,j}T_{i,j-1}^{n+1} + B_{i,j}T_{i,j}^{n+1} + C_{i,j}T_{i,j+1}^{n+1} = R_{i,j}$$

و ماتریس سه‌قطری مربوط به آن:

$$\begin{pmatrix} B_{i,2} & C_{i,2} & 0 & \dots & 0 & 0 & 0 & 0 \\ A_{i,3} & B_{i,3} & C_{i,3} & 0 & \dots & 0 & 0 & 0 \\ 0 & A_{i,4} & B_{i,4} & C_{i,4} & 0 & \dots & 0 & 0 \\ 0 & 0 & A_{i,5} & B_{i,5} & C_{i,5} & 0 & \vdots & \vdots \\ \vdots & \vdots & \ddots & \ddots & \ddots & \ddots & \vdots & \vdots \\ \vdots & \vdots & \ddots & \ddots & \ddots & \ddots & 0 & 0 \\ 0 & 0 & \dots & 0 & A_{i,J_{\max}-3} & B_{i,J_{\max}-3} & C_{i,J_{\max}-3} & 0 \\ 0 & 0 & 0 & \dots & 0 & A_{i,J_{\max}-2} & B_{i,J_{\max}-2} & C_{i,J_{\max}-2} \\ 0 & 0 & 0 & 0 & \dots & 0 & A_{i,J_{\max}-1} & B_{i,J_{\max}-1} \end{pmatrix} \begin{pmatrix} T_{i,2} \\ T_{i,3} \\ T_{i,4} \\ T_{i,5} \\ \vdots \\ \vdots \\ T_{i,J_{\max}-3} \\ T_{i,J_{\max}-2} \\ T_{i,J_{\max}-1} \end{pmatrix} = \begin{pmatrix} R_{i,2} - A_{i,2}T_{i,1} \\ R_{i,3} \\ R_{i,4} \\ R_{i,5} \\ \vdots \\ \vdots \\ R_{i,J_{\max}-3} \\ R_{i,J_{\max}-2} \\ R_{i,J_{\max}-1} - C_{i,J_{\max}-1,j}T_{i,J_{\max}} \end{pmatrix}$$

- روش تکراری جاروبی دوگانه (ابتدا در راستای r سپس θ):

روابط همانند دو روش قبل است با این تفاوت که ابتدا جاروب در راستای r صورت می‌گیرد و پس از یک‌بار جاروب در این راستا، بلافاصله جاروب در راستای θ انجام می‌شود.



تاریخ ارسال: ۹۹/۱۰/۴

باسمه تعالی

پروژه‌ی یک (نسخه نهایی)

دینامیک سیالات محاسباتی ۱

۶۵۸۳۰- گروه ۲

آقای دکتر کریم مظاهری

نیم‌سال اول سال تحصیلی ۱۳۹۹

دانشجو: سید محمدامین طالقانی

ش. دانشجویی: ۹۹۲۱۱۲۰۹

صفحه | 4

- روش تکراری جاروبی دوگانه (ابتدا در راستای θ سپس r):

برای بررسی اثر ترتیب جاروب‌ها بر روی همگرایی حل، روش قبل برعکس انجام شده است.

- روش تکراری فوق تخفیفی (SOR) برای روش گاوس-سایدل و یافتن مقدار بهینه‌ی ω :

برای یافتن مقدار بهینه‌ی ω در روش SOR، رابطه‌ی $\nabla^2 T = 0$ را در دامنه‌ی محاسباتی و با فرض تقسیمات Δx و Δy گسسته‌سازی می‌کنیم:

$$\frac{T_{i+1,j}^n - 2T_{i,j}^{n+1} + T_{i-1,j}^n}{\Delta x^2} + \frac{T_{i,j+1}^n - 2T_{i,j}^{n+1} + T_{i,j-1}^n}{\Delta y^2} = 0$$

فرض می‌شود که $\Delta x = \Delta y = h$ ، یا به عبارت دیگر شبکه مربعی و تقسیمات شبکه یک‌نواخت باشد. در این صورت روش گاوس-سایدل نقطه‌ای تبدیل می‌شود به

$$T_{i,j}^{n+1} = \frac{1}{4} (T_{i-1,j}^{n+1} + T_{i+1,j}^n + T_{i,j-1}^{n+1} + T_{i,j+1}^n)$$

با اعمال روش SOR به این رابطه

$$T_{i,j}^{n+1} = T_{i,j}^n + \frac{\omega}{4} (T_{i-1,j}^{n+1} + T_{i+1,j}^n + T_{i,j-1}^{n+1} + T_{i,j+1}^n - 4T_{i,j}^n)$$

برای بررسی نرخ هم‌گرایی، دما در هر لحظه و مکان را به این صورت فرض می‌کنیم. [۱]

$$T_{i,j}^n = \hat{T}^n e^{i(\alpha x + \beta y)}$$

که در آن

$$\alpha = \frac{m\pi}{L}, \quad \beta = \frac{n\pi}{L}, \quad m, n = 1, 2, \dots, N-1$$

با جایگزینی این عبارت در معادله‌ی گسسته‌سازی شده:



تاریخ ارسال: ۹۹/۱۰/۴

باسمه تعالی

پروژه‌ی یک (نسخه نهایی)

دینامیک سیالات محاسباتی ۱

۶۵۸۳۰- گروه ۲

آقای دکتر کریم مظاهری

نیم سال اول سال تحصیلی ۱۳۹۹

دانشجو: سید محمدامین طالقانی

ش. دانشجویی: ۹۹۲۱۱۲۰۹

صفحه | 5

$$\hat{T}^{n+1} e^{i(\alpha x + \beta y)} = \hat{T}^n e^{i(\alpha x + \beta y)} + \frac{\omega}{4} \left(\hat{T}^{n+1} e^{i(\alpha(x-\Delta x) + \beta y)} + \hat{T}^n e^{i(\alpha(x+\Delta x) + \beta y)} + \hat{T}^{n+1} e^{i(\alpha x + \beta(y-\Delta y))} + \hat{T}^n e^{i(\alpha x + \beta(y+\Delta y))} - 4\hat{T}^n e^{i(\alpha x + \beta y)} \right)$$

$$\hat{T} = 1 + \frac{\omega}{4} \left(\hat{T}(e^{-i\alpha\Delta x} + e^{-i\beta\Delta y}) + e^{i\alpha\Delta x} + e^{i\beta\Delta y} - 4 \right)$$

فرض می‌کنیم $e^{i\alpha\Delta x} + e^{i\alpha\Delta y}$ یک عدد مختلط مانند z باشد.

$$z = \frac{\omega}{4} (e^{i\alpha\Delta x} + e^{i\beta\Delta y}) = \xi + i\eta \rightarrow \bar{z} = \frac{\omega}{4} (e^{-i\alpha\Delta x} + e^{-i\beta\Delta y}) = \xi - i\eta$$

بنابراین

$$\hat{T} = 1 + \bar{z}\hat{T} + z - \omega \rightarrow \hat{T} = \frac{1 + z - \omega}{1 - \bar{z}}$$

اندازه‌ی \hat{T} نرخ هم‌گرایی را تعیین می‌کند.

$$|\hat{T}|^2 = \frac{(1 + \xi - \omega)^2 + \eta^2}{(1 - \xi)^2 + \eta^2}$$

می‌توان نشان داد که $|\hat{T}|$ زمانی به ۱ نزدیک خواهد بود که α و β تا حد ممکن کوچک باشند ($\beta = \frac{\pi}{L}$, $\alpha = \frac{\pi}{L}$)

(و ξ نزدیک $\frac{\omega}{2}$ باشد. در این صورت:

$$\xi = \left(\frac{\omega}{2}\right) \sin \frac{\pi\Delta x}{L}, \eta = \left(\frac{\omega}{2}\right) \sin \frac{\pi\Delta y}{L}$$

$$\Delta x = \Delta y \rightarrow \xi = \eta = \left(\frac{\omega}{2}\right) \sin \frac{\pi\Delta x}{L}$$

$$|\hat{T}|^2 = \frac{\omega^2 + 4(1 - \omega)^2 + 4\omega(1 - \omega) \cos\left(\frac{\pi}{N}\right)}{\omega^2 + 4 - 4\omega \cos\left(\frac{\pi}{N}\right)}$$



تاریخ ارسال: ۹۹/۱۰/۴

باسمه تعالی

پروژه‌ی یک (نسخه نهایی)

دینامیک سیالات محاسباتی ۱

۶۵۸۳۰- گروه ۲

آقای دکتر کریم مظاهری

نیم سال اول سال تحصیلی ۱۳۹۹

دانشجو: سید محمدامین طالقانی

ش. دانشجویی: ۹۹۲۱۱۲۰۹

صفحه | 6

با بدست آوردن اکستریم عبارت فوق، مقدار بهینه‌ی ω بدست می‌آید.

$$\omega = 2 - 2\sqrt{2} \sqrt{1 - \cos\left(\frac{\pi}{N}\right)}$$

$$N \gg 1 \rightarrow 1 - \cos\left(\frac{\pi}{N}\right) = \frac{\pi^2}{2N^2} \rightarrow \omega = 2\left(1 - \frac{\pi}{N}\right)$$

به عنوان مثال، برای یک شبکه‌ی 65×65 ، مقدار بهینه‌ی ω برابر است با $1/903$.

ت. گسسته‌سازی‌های به کار رفته در همه‌ی روش‌ها از یک نوع می‌باشد (Central Space). بنابراین خطای قطع برای همه‌ی روش‌ها یکسان می‌باشد.

محاسبه‌ی خطای قطع جمله‌ی
$$\frac{T_{i+1,j}^n - 2T_{i,j}^{n+1} + T_{i-1,j}^n}{\Delta r^2}$$

$$T(r_i + \Delta r, \theta_i) = T(r_i, \theta_i) + \left. \frac{\partial T}{\partial r} \right|_{(r_i, \theta_i)} \frac{\Delta r}{1!} + \left. \frac{\partial^2 T}{\partial r^2} \right|_{(r_i, \theta_i)} \frac{(\Delta r)^2}{2!} + \dots$$

$$T(r_i - \Delta r, \theta_i) = T(r_i, \theta_i) - \left. \frac{\partial T}{\partial r} \right|_{(r_i, \theta_i)} \frac{\Delta r}{1!} + \left. \frac{\partial^2 T}{\partial r^2} \right|_{(r_i, \theta_i)} \frac{(\Delta r)^2}{2!} \pm \dots$$

$$T(r_i + \Delta r, \theta_i) + T(r_i - \Delta r, \theta_i) = 2T(r_i, \theta_i) + 2 \left. \frac{\partial^2 T}{\partial r^2} \right|_{(r_i, \theta_i)} \frac{(\Delta r)^2}{2!} + 2 \left. \frac{\partial^4 T}{\partial r^4} \right|_{(r_i, \theta_i)} \frac{(\Delta r)^4}{4!} + \dots$$

$$\left. \frac{\partial^2 T}{\partial r^2} \right|_{(r_i, \theta_i)} = \frac{T(r_i - \Delta r, \theta_i) - 2T(r_i, \theta_i) + T(r_i + \Delta r, \theta_i)}{(\Delta r)^2} - \left. \frac{\partial^4 T}{\partial r^4} \right|_{(r_i, \theta_i)} \frac{(\Delta r)^2}{12} \pm \dots$$

$$\left. \frac{\partial^2 T}{\partial r^2} \right|_{(r_i, \theta_i)} = \frac{T(r_i - \Delta r, \theta_i) - 2T(r_i, \theta_i) + T(r_i + \Delta r, \theta_i)}{(\Delta r)^2} + O(\Delta r^2)$$

محاسبه‌ی خطای قطع جمله‌ی
$$\frac{1}{r_{i,j}} \frac{T_{i+1,j}^n - T_{i-1,j}^n}{2\Delta r}$$



تاریخ ارسال: ۹۹/۱۰/۴

باسمه تعالی

پروژه‌ی یک (نسخه نهایی)

دینامیک سیالات محاسباتی ۱

۶۵۸۳۰- گروه ۲

آقای دکتر کریم مظاهری

نیم سال اول سال تحصیلی ۱۳۹۹

دانشجو: سید محمدامین طالقانی

ش. دانشجویی: ۹۹۲۱۱۲۰۹

صفحه | 7

$$T(r_i + \Delta r, \theta_i) = T(r_i, \theta_i) + \left. \frac{\partial T}{\partial r} \right|_{(r_i, \theta_i)} \frac{\Delta r}{1!} + \left. \frac{\partial^2 T}{\partial r^2} \right|_{(r_i, \theta_i)} \frac{(\Delta r)^2}{2!} + \dots$$

$$T(r_i - \Delta r, \theta_i) = T(r_i, \theta_i) - \left. \frac{\partial T}{\partial r} \right|_{(r_i, \theta_i)} \frac{\Delta r}{1!} + \left. \frac{\partial^2 T}{\partial r^2} \right|_{(r_i, \theta_i)} \frac{(\Delta r)^2}{2!} \pm \dots$$

$$T(r_i + \Delta r, \theta_i) - T(r_i - \Delta r, \theta_i) = 2 \left. \frac{\partial T}{\partial r} \right|_{(r_i, \theta_i)} \frac{\Delta r}{1!} + 2 \left. \frac{\partial^3 T}{\partial r^3} \right|_{(r_i, \theta_i)} \frac{(\Delta r)^3}{3!} + \dots$$

$$\left. \frac{\partial T}{\partial r} \right|_{(r_i, \theta_i)} = \frac{T(r_i + \Delta r, \theta_i) - T(r_i - \Delta r, \theta_i)}{2\Delta r} - \left. \frac{\partial^3 T}{\partial r^3} \right|_{(r_i, \theta_i)} \frac{(\Delta r)^2}{3!} \pm \dots$$

$$\left. \frac{1}{r} \frac{\partial T}{\partial r} \right|_{(r_i, \theta_i)} = \frac{1}{r_{i,j}} \frac{T(r_i + \Delta r, \theta_i) - T(r_i - \Delta r, \theta_i)}{2\Delta r} + O\left(\frac{\Delta r^2}{r_{i,j}}\right)$$

محاسبه‌ی خطای قطع جمله‌ی $\frac{1}{r_{i,j}^2} \frac{T_{i,j+1}^n - 2T_{i,j}^{n+1} + T_{i,j-1}^n}{(\Delta \theta)^2}$:

$$T(r_i, \theta_i + \Delta \theta) = T(r_i, \theta_i) + \left. \frac{\partial T}{\partial \theta} \right|_{(r_i, \theta_i)} \frac{\Delta \theta}{1!} + \left. \frac{\partial^2 T}{\partial \theta^2} \right|_{(r_i, \theta_i)} \frac{(\Delta \theta)^2}{2!} + \dots$$

$$T(r_i, \theta_i - \Delta \theta) = T(r_i, \theta_i) - \left. \frac{\partial T}{\partial \theta} \right|_{(r_i, \theta_i)} \frac{\Delta \theta}{1!} + \left. \frac{\partial^2 T}{\partial \theta^2} \right|_{(r_i, \theta_i)} \frac{(\Delta \theta)^2}{2!} \pm \dots$$

$$T(r_i, \theta_i + \Delta \theta) + T(r_i, \theta_i - \Delta \theta) = 2T(r_i, \theta_i) + 2 \left. \frac{\partial^4 T}{\partial \theta^4} \right|_{(r_i, \theta_i)} \frac{(\Delta \theta)^2}{2!} + 2 \left. \frac{\partial^4 T}{\partial \theta^4} \right|_{(r_i, \theta_i)} \frac{(\Delta \theta)^4}{4!} + \dots$$

$$\left. \frac{\partial^2 T}{\partial \theta^2} \right|_{(r_i, \theta_i)} = \frac{T(r_i, \theta_i + \Delta \theta) - 2T(r_i, \theta_i) + T(r_i, \theta_i - \Delta \theta)}{(\Delta \theta)^2} - \left. \frac{\partial^4 T}{\partial \theta^4} \right|_{(r_i, \theta_i)} \frac{(\Delta \theta)^2}{12} + \dots$$

$$\left. \frac{1}{r^2} \frac{\partial^4 T}{\partial \theta^4} \right|_{(r_i, \theta_i)} = \frac{1}{r_{i,j}^2} \frac{T(r_i, \theta_i + \Delta \theta) - 2T(r_i, \theta_i) + T(r_i, \theta_i - \Delta \theta)}{(\Delta \theta)^2} + O\left(\frac{\Delta \theta^2}{r_{i,j}^2}\right) \dots$$

از خطای قطع سه جمله‌ی فوق نتیجه می‌شود:



تاریخ ارسال: ۹۹/۱۰/۴

باسمه تعالی

پروژه‌ی یک (نسخه نهایی)

دینامیک سیالات محاسباتی ۱

۶۵۸۳۰- گروه ۲

آقای دکتر کریم مظاهری

نیم سال اول سال تحصیلی ۱۳۹۹

دانشجو: سید محمدامین طالقانی

ش. دانشجویی: ۹۹۲۱۱۲۰۹

صفحه | 8

$$\begin{aligned}\nabla_{(r,\theta)}^2 T &= \frac{T_{i+1,j}^n - 2T_{i,j}^{n+1} + T_{i-1,j}^n}{\Delta r^2} + \frac{1}{r_{i,j}} \frac{T_{i+1,j}^n - T_{i-1,j}^n}{2\Delta r} + \frac{1}{r_{i,j}^2} \frac{T_{i,j+1}^n - 2T_{i,j}^{n+1} + T_{i,j-1}^n}{(\Delta \theta)^2} + O(\Delta r^2) + O\left(\frac{\Delta r^2}{r_{i,j}}\right) + O\left(\frac{\Delta \theta^2}{r_{i,j}^2}\right) \\ &= \frac{T_{i+1,j}^n - 2T_{i,j}^{n+1} + T_{i-1,j}^n}{\Delta r^2} + \frac{1}{r_{i,j}} \frac{T_{i+1,j}^n - T_{i-1,j}^n}{2\Delta r} + \frac{1}{r_{i,j}^2} \frac{T_{i,j+1}^n - 2T_{i,j}^{n+1} + T_{i,j-1}^n}{(\Delta \theta)^2} + O(\Delta r^2, \frac{\Delta \theta^2}{r_{i,j}^2})\end{aligned}$$

بنابراین خطای قطع از مرتبه‌ی Δr^2 و $\frac{\Delta \theta^2}{r_{i,j}^2}$ می‌باشد. مقدار این خطا نیز در بخش ت محاسبه شده است.

ت. برای حالت پایا، همه‌ی روش‌ها از لحاظ خطای قطع و سازگاری یکسان می‌باشند. جملات اول خطای بدین صورت می‌باشند:

$$|T.E.| = \left(\frac{\partial^4 T}{\partial r^4} \right)_{(r_i, \theta_i)} \frac{(\Delta r)^2}{12} + \left(\frac{\partial^3 T}{\partial r^3} \right)_{(r_i, \theta_i)} \frac{1}{r_{i,j}} \frac{(\Delta r)^2}{3!} + \left(\frac{\partial^4 T}{\partial \theta^4} \right)_{(r_i, \theta_i)} \frac{1}{r_{i,j}^2} \frac{(\Delta \theta)^2}{12}$$

چون خطای قطع تابعی از پارامترهای گسسته‌سازی است، هماهنگی برقرار است. برای بررسی سازگاری باید اختلاف حل عددی و PDE (یا همان خطای خطای قطع) با ریزکردن شبکه صفر شود.

$$\lim_{\Delta r, \Delta \theta \rightarrow 0} |T.E.| = \lim_{\Delta r, \Delta \theta \rightarrow 0} \left[\left(\frac{\partial^4 T}{\partial r^4} \right)_{(r_i, \theta_i)} \frac{(\Delta r)^2}{12} + \left(\frac{\partial^3 T}{\partial r^3} \right)_{(r_i, \theta_i)} \frac{1}{r_{i,j}} \frac{(\Delta r)^2}{3!} + \left(\frac{\partial^4 T}{\partial \theta^4} \right)_{(r_i, \theta_i)} \frac{1}{r_{i,j}^2} \frac{(\Delta \theta)^2}{12} \right] = 0$$

بنابراین سازگاری نیز برقرار است.

ج. در کدهای نوشته شده، حدس اولیه هنگام اجرای کد بر روی صفحه‌ی نمایش داده می‌شود. این حدس کدها به صورت پیش‌فرض صفر در نظر گرفته شده است.



تاریخ ارسال: ۹۹/۱۰/۴

باسمه تعالی

پروژه‌ی یک (نسخه نهایی)

دینامیک سیالات محاسباتی ۱

۴۵۸۳۰- گروه ۲

آقای دکتر کریم مظاهری

نیم سال اول سال تحصیلی ۱۳۹۹

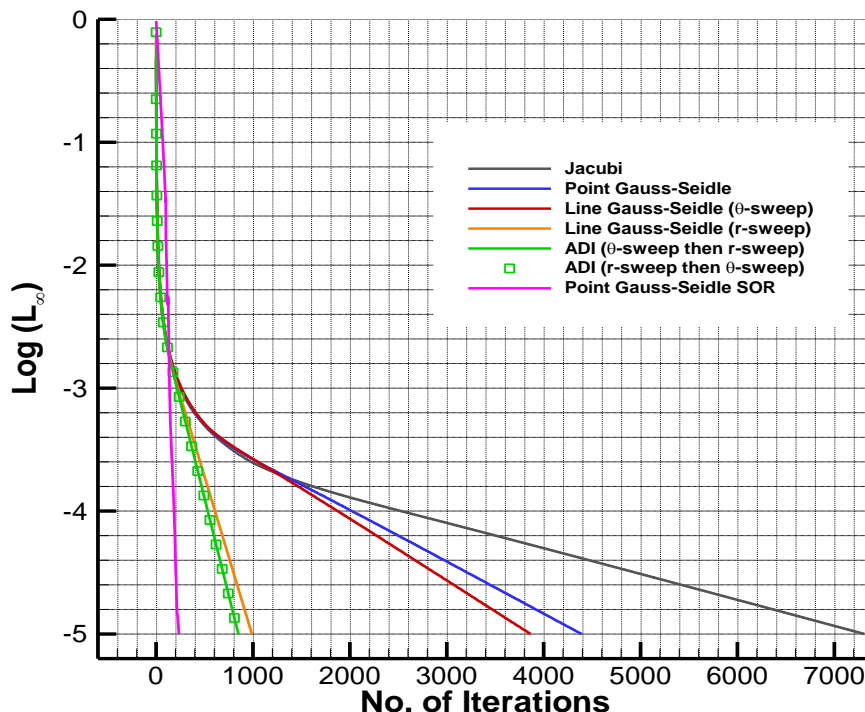
دانشجو: سید محمدامین طالقانی

ش. دانشجویی: ۹۹۲۱۱۲۰۹

صفحه | 9

خ. شکل ۱) نشان‌دهنده‌ی نمودار نرم باقی‌مانده‌ها بر حسب تعداد تکرارها برای روش‌های مختلف می‌باشد. شبکه‌ی مورد انتخاب نیز دارای تعداد نقاط ۱۰۱ در ۱۰۱ می‌باشد تا تفاوت روش‌ها بهتر نمایان گردد. بر این اساس ملاحظه می‌گردد به ترتیب از تعداد تکرار زیاد به کم روش ژاکوبی، گاوس-سایدل نقطه‌ای، گاوس-سایدل خطی (در راستای شعاعی)، گاوس-سایدل خطی (در راستای مماسی)، جاروبی دوگانه (بدون تاثیر در ترتیب جاروب) و روش تخفیفی بر روی گاوس-سایدل نقطه‌ای بیش‌ترین تعداد تکرار را تا پایان رساندن حل نیازمند هستند. همچنین قابل توجه است که در روش خطی، انتخاب جهت جاروب مناسب تاثیر بسزایی در کاهش تعداد تکرارها دارد (در این مسئله جاروب در جهت شعاعی به مراتب سریع‌تر هم‌گرا می‌شود). همچنین، در روش جاروبی دوگانه ترتیب جاروب‌ها تاثیری بر بهبود یا بدتر شدن هم‌گرایی ندارد. مشاهده‌ی مهم دیگر نیز مربوط به روش

Comparison of Residuals vs. No. of Iterations for Different Methods
(101x101 Grid Size)



شکل ۱) نرم خطا بر حسب تعداد تکرارها برای روش‌های مختلف در شبکه‌ی ۱۰۱x۱۰۱



فوق تخفیفی است که در آن مقدار بهینه‌ی فاکتور تخفیفی (w) استفاده شده است و هم‌گرایی فوق‌العاده سریعی دارد. البته روش تخفیفی بر روی روش تکرار گاوس-سایدل نقطه‌ای اعمال شده است. طبیعتاً اگر روش تخفیفی بر روی الگوریتم قوی‌تری مانند گاوس-سایدل خطی اعمال شود و مقدار بهینه‌ی فاکتور برای آن محاسبه شود، هم‌گرایی سریع‌تری را شاهد خواهیم بود. به دلیل زمان‌بر بودن محاسبات این کار، تنها به اعمال این روش بر روی گاوس-سایدل نقطه‌ای بسنده شده است.

د. در پوشه‌ی د از فایل‌های پیوست شده، فایل‌های پروژه‌ی Visual Studio برای پنج شبکه با ابعاد 9×9 ، 17×17 ، 33×33 ، 65×65 و 101×101 قرار داده شده است. با اجرای کد یا پروژه‌ی مربوط به هر شبکه، نتایج همگی روش‌های استفاده شده ایجاد می‌شود.

ذ. منحنی‌های دما ثابت برای روش فوق تخفیفی گاوس-سایدل نقطه‌ای در شکل ۲ نمایش داده شده است.

ر. حل دقیق این مسئله به کمک نرم‌افزار Maple 2020.2 بدست آمده است. فایل میپل مربوط به این حل در پوشه‌ی اصلی پیوست پروژه و تحت نام CFDI Proj 1.mw ذخیره شده است.

$$T(r, \theta) = \frac{4 \sin(2\theta)(r^4 - 1)}{15r^2} + \left(\sum_{n=1}^{\infty} - \frac{2 \sin\left(\frac{n\pi \ln(r)}{\ln(2)}\right) e^{\frac{n\pi^2}{2\ln(2)}} \left(\int_1^2 \frac{\sin\left(\frac{n\pi \ln(r)}{\ln(2)}\right) \sin(\pi r)}{r} dr \right) \left(e^{\frac{n\pi\theta}{\ln(2)}} - e^{-\frac{n\pi\theta}{\ln(2)}} \right)}{\ln(2) \left(e^{\frac{n\pi^2}{\ln(2)}} - 1 \right)} \right)$$

منحنی‌های دما ثابت برای حل عددی و تحلیلی در شکل ۳ در کنار یک‌دیگر قرار داده شده است. ملاحظه می‌شود که این دو حل بسیار به یک‌دیگر نزدیک هستند.



تاریخ ارسال: ۹۹/۱۰/۴

باسمه تعالی

پروژه‌ی یک (نسخه نهایی)

دینامیک سیالات محاسباتی ۱

۴۵۸۳۰- گروه ۲

آقای دکتر کریم مظاهری

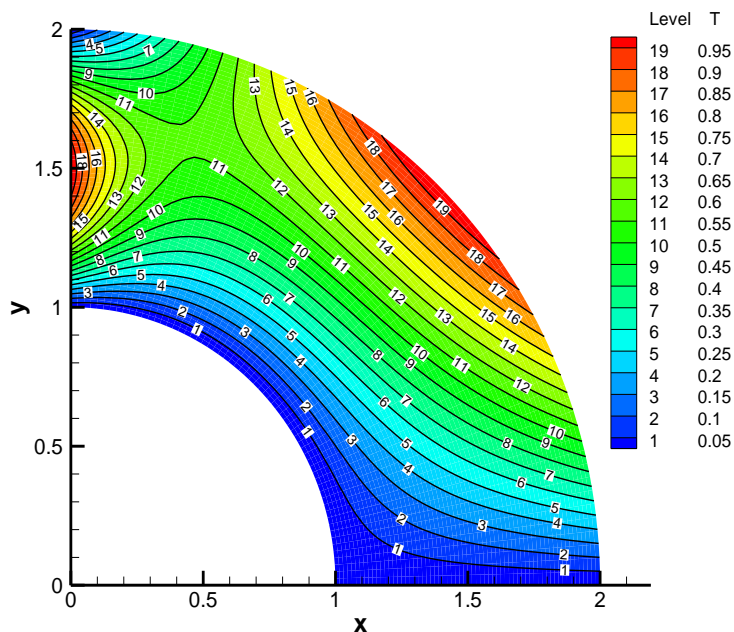
نیم‌سال اول سال تحصیلی ۱۳۹۹

دانشجو: سید محمدامین طالقانی

ش. دانشجویی: ۹۹۲۱۱۲۰۹

صفحه | 11

Isothermal Lines and Contour for Point Gauss-Seidel SOR Method



شکل ۲) منحنی‌های دما ثابت برای روش فوق تخفیفی گاوس-سایدل نقطه‌ای

ز. دقت حل برای روش‌های مختلف در شش جدول ذیل بررسی شده است. هر سه نرم مورد نظر محاسبه گردیده‌اند اما تنها نرم L_2 برای محاسبه‌ی دقت معیار قرار داده شده است.

Jacubi							
Grid Size	Δr	$\log(\Delta r)$	L_1	L_2	L_∞	$\log(L_2)$	Accuracy
9	1.25E-01	-0.903	2.67E-03	4.67E-03	1.533E-02	-2.331	-
17	6.25E-02	-1.204	8.28E-04	1.33E-03	4.133E-03	-2.875	1.807
33	3.13E-02	-1.505	2.27E-04	3.50E-04	1.059E-03	-3.456	1.929
65	1.56E-02	-1.806	5.92E-05	8.94E-05	2.687E-04	-4.049	1.970
Average		-	-	-	-	-	1.888



تاریخ ارسال: ۹۹/۱۰/۴

باسمه تعالی

پروژه‌ی یک (نسخه نهایی)

دینامیک سیالات محاسباتی ۱

۴۵۸۳۰- گروه ۲

آقای دکتر کریم مظاهری

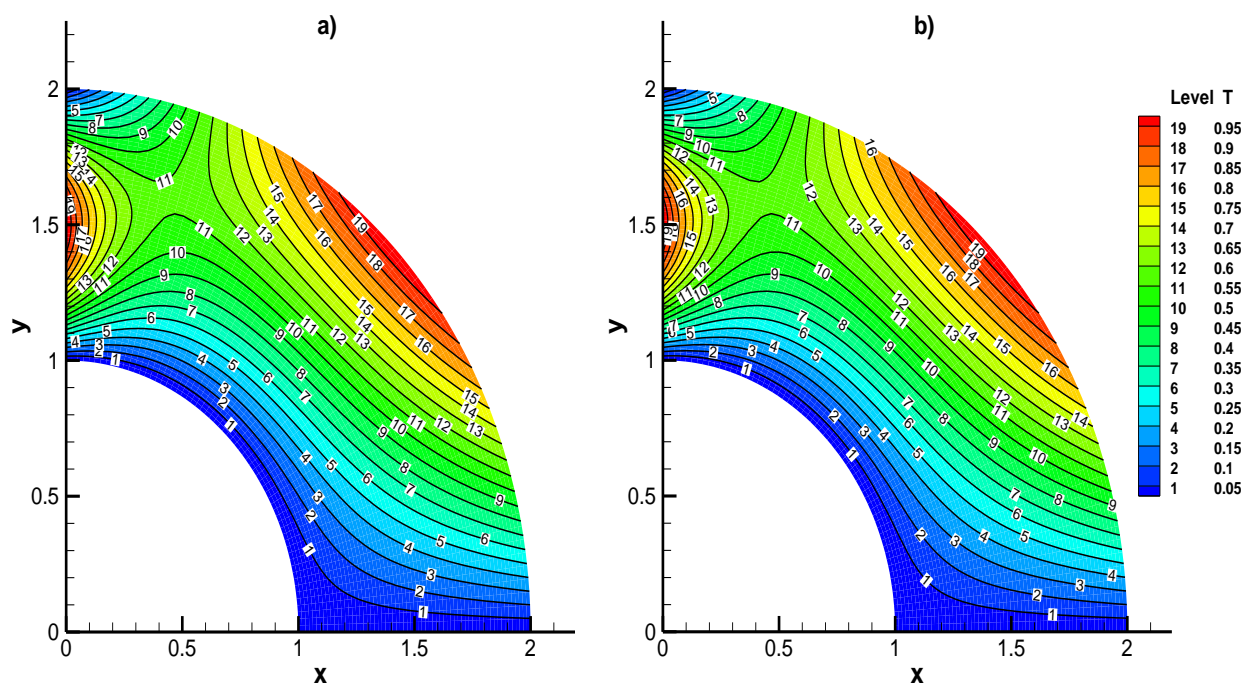
نیم سال اول سال تحصیلی ۱۳۹۹

دانشجو: سید محمدامین طالقانی

ش. دانشجویی: ۹۹۲۱۱۲۰۹

صفحه | 12

Isothermal lines for Analytical and Numerical Solutions



شکل ۳) کانتور دما و خطوط دما ثابت برای حل تحلیلی و عددی: (a) حل تحلیلی، (b) حل عددی به روش PSOR

Point Gauss-Seidel							
Grid Size	Δr	$\log(\Delta r)$	L_1	L_2	L_∞	$\log(L_2)$	Accuracy
9	1.25E-01	-0.903	2.67E-03	4.67E-03	1.533E-02	-2.331	-
17	6.25E-02	-1.204	8.28E-04	1.33E-03	4.133E-03	-2.875	1.807
33	3.13E-02	-1.505	2.27E-04	3.50E-04	1.059E-03	-3.456	1.929
65	1.56E-02	-1.806	5.92E-05	8.94E-05	2.687E-04	-4.049	1.970
Average		-	-	-	-	-	1.888



تاریخ ارسال: ۹۹/۱۰/۴

باسمه تعالی

پروژه‌ی یک (نسخه نهایی)

دینامیک سیالات محاسباتی ۱

۶۵۸۳۰- گروه ۲

آقای دکتر کریم مظاهری

نیم سال اول سال تحصیلی ۱۳۹۹

دانشجو: سید محمدامین طالقانی

ش. دانشجویی: ۹۹۲۱۱۲۰۹

صفحه | 13

Line Gauss-Seidel (θ -sweep)							
Grid Size	Δr	$\log(\Delta r)$	L_1	L_2	L_∞	$\log(L_2)$	Accuracy
9	1.25E-01	-0.903	2.67E-03	4.67E-03	1.533E-02	-2.331	-
17	6.25E-02	-1.204	8.28E-04	1.33E-03	4.133E-03	-2.875	1.807
33	3.13E-02	-1.505	2.27E-04	3.50E-04	1.059E-03	-3.456	1.929
65	1.56E-02	-1.806	5.92E-05	8.94E-05	2.687E-04	-4.049	1.970
Average		-	-	-	-	-	1.888

Line Gauss-Seidel (r-sweep)							
Grid Size	Δr	$\log(\Delta r)$	L_1	L_2	L_∞	$\log(L_2)$	Accuracy
9	1.25E-01	-0.903	2.67E-03	4.67E-03	1.533E-02	-2.331	-
17	6.25E-02	-1.204	8.28E-04	1.33E-03	4.133E-03	-2.875	1.807
33	3.13E-02	-1.505	2.27E-04	3.50E-04	1.059E-03	-3.456	1.929
65	1.56E-02	-1.806	5.92E-05	8.94E-05	2.687E-04	-4.049	1.970
Average		-	-	-	-	-	1.888

ADI							
Grid Size	Δr	$\log(\Delta r)$	L_1	L_2	L_∞	$\log(L_2)$	Accuracy
9	1.25E-01	-0.903	2.67E-03	4.67E-03	1.533E-02	-2.331	-
17	6.25E-02	-1.204	8.28E-04	1.33E-03	4.133E-03	-2.875	1.807
33	3.13E-02	-1.505	2.27E-04	3.50E-04	1.059E-03	-3.456	1.929
65	1.56E-02	-1.806	5.92E-05	8.94E-05	2.687E-04	-4.049	1.970
Average		-	-	-	-	-	1.888



تاریخ ارسال: ۹۹/۱۰/۴

باسمه تعالی

پروژه‌ی یک (نسخه نهایی)

دینامیک سیالات محاسباتی ۱

۶۵۸۳۰- گروه ۲

آقای دکتر کریم مظاهری

نیم سال اول سال تحصیلی ۱۳۹۹

دانشجو: سید محمدامین طالقانی

ش. دانشجویی: ۹۹۲۱۱۲۰۹

صفحه | 14

Point Gauss-Seidel SOR							
Grid Size	Δr	$\log(\Delta r)$	L_1	L_2	L_∞	$\log(L_2)$	Accuracy
9	1.25E-01	-0.903	2.67E-03	4.67E-03	1.533E-02	-2.331	-
17	6.25E-02	-1.204	8.28E-04	1.33E-03	4.133E-03	-2.875	1.807
33	3.13E-02	-1.505	2.27E-04	3.50E-04	1.059E-03	-3.456	1.929
65	1.56E-02	-1.806	5.92E-05	8.94E-05	2.687E-04	-4.049	1.970
Average		-	-	-	-	-	1.888

جدول‌های زیر نیز مقدار دقت روش‌ها را نسبت به کوچک کردن $\Delta\theta$ می‌سنجند.

Jacubi							
Grid Size	$\Delta\theta$	$\log(\Delta\theta)$	L_1	L_2	L_∞	$\log(L_2)$	Accuracy
9	1.96E-01	-0.707	2.67E-03	4.67E-03	1.533E-02	-2.331	-
17	9.82E-02	-1.008	8.28E-04	1.33E-03	4.133E-03	-2.875	1.807
33	4.91E-02	-1.309	2.27E-04	3.50E-04	1.059E-03	-3.456	1.929
65	2.45E-02	-1.610	5.92E-05	8.94E-05	2.687E-04	-4.049	1.970
Average		-	-	-	-	-	1.888

Point Gauss-Seidel							
Grid Size	$\Delta\theta$	$\log(\Delta\theta)$	L_1	L_2	L_∞	$\log(L_2)$	Accuracy
9	1.96E-01	-0.707	2.67E-03	4.67E-03	1.533E-02	-2.331	-
17	9.82E-02	-1.008	8.28E-04	1.33E-03	4.133E-03	-2.875	1.807
33	4.91E-02	-1.309	2.27E-04	3.50E-04	1.059E-03	-3.456	1.929
65	2.45E-02	-1.610	5.92E-05	8.94E-05	2.687E-04	-4.049	1.970
Average		-	-	-	-	-	1.888



تاریخ ارسال: ۹۹/۱۰/۴

باسمه تعالی

پروژه‌ی یک (نسخه نهایی)

دینامیک سیالات محاسباتی ۱

۶۵۸۳۰- گروه ۲

آقای دکتر کریم مظاهری

نیم سال اول سال تحصیلی ۱۳۹۹

دانشجو: سید محمدامین طالقانی

ش. دانشجویی: ۹۹۲۱۱۲۰۹

صفحه | 15

Line Gauss-Seidel (θ -sweep)							
Grid Size	$\Delta\theta$	$\log(\Delta\theta)$	L_1	L_2	L_∞	$\log(L_2)$	Accuracy
9	1.96E-01	-0.707	2.67E-03	4.67E-03	1.533E-02	-2.331	-
17	9.82E-02	-1.008	8.28E-04	1.33E-03	4.133E-03	-2.875	1.807
33	4.91E-02	-1.309	2.27E-04	3.50E-04	1.059E-03	-3.456	1.929
65	2.45E-02	-1.610	5.92E-05	8.94E-05	2.687E-04	-4.049	1.970
Average		-	-	-	-	-	1.888

Line Gauss-Seidel (r-sweep)							
Grid Size	$\Delta\theta$	$\log(\Delta\theta)$	L_1	L_2	L_∞	$\log(L_2)$	Accuracy
9	1.96E-01	-0.707	2.67E-03	4.67E-03	1.533E-02	-2.331	-
17	9.82E-02	-1.008	8.28E-04	1.33E-03	4.133E-03	-2.875	1.807
33	4.91E-02	-1.309	2.27E-04	3.50E-04	1.059E-03	-3.456	1.929
65	2.45E-02	-1.610	5.92E-05	8.94E-05	2.687E-04	-4.049	1.970
Average		-	-	-	-	-	1.888

ADI							
Grid Size	$\Delta\theta$	$\log(\Delta\theta)$	L_1	L_2	L_∞	$\log(L_2)$	Accuracy
9	1.96E-01	-0.707	2.67E-03	4.67E-03	1.533E-02	-2.331	-
17	9.82E-02	-1.008	8.28E-04	1.33E-03	4.133E-03	-2.875	1.807
33	4.91E-02	-1.309	2.27E-04	3.50E-04	1.059E-03	-3.456	1.929
65	2.45E-02	-1.610	5.92E-05	8.94E-05	2.687E-04	-4.049	1.970
Average		-	-	-	-	-	1.888



Point Gauss-Seidel SOR							
Grid Size	$\Delta\theta$	$\log(\Delta\theta)$	L_1	L_2	L_∞	$\log(L_2)$	Accuracy
9	1.96E-01	-0.707	2.67E-03	4.67E-03	1.533E-02	-2.331	-
17	9.82E-02	-1.008	8.28E-04	1.33E-03	4.133E-03	-2.875	1.807
33	4.91E-02	-1.309	2.27E-04	3.50E-04	1.059E-03	-3.456	1.929
65	2.45E-02	-1.610	5.92E-05	8.94E-05	2.687E-04	-4.049	1.970
Average		-	-	-	-	-	1.888

طبق جدول‌های فوق، ملاحظه می‌شود همه‌ی روش‌ها نسبت به هر دو متغیر گسسته‌سازی Δr و $\Delta\theta$ دارای دقت مرتبه ۲ می‌باشد. دلیل این امر این است که معادله‌ی گسسته‌سازی شده‌ی همه‌ی روش‌ها در حالت پایا از نظر دقت با یک‌دیگر تفاوتی ندارند و تنها در نحوه‌ی پیش‌روی تکرارها متفاوت‌اند. ممکن است در ابتدا به نظر آید که ایجاد جدول‌های دقت تنها برای یکی از متغیرهای گسسته‌سازی کافی می‌باشد، اما این‌طور نیست. در این روش خاص، دقت روش نسبت به هر دو متغیر یکسان است اما اگر روش ناشناخته‌ی دیگری مورد بررسی قرار می‌گرفت که دقت آن نسبت به هر متغیر متفاوت باشد، امکان بررسی دقت نسبت به هر متغیر گسسته‌سازی امکان‌پذیر نمی‌بود مگر با ایجاد جدول برای تمامی آن‌ها.

س. در جدول ذیل، تعداد تکرارها و متوسط زمان حل (به ازای ۳ اجرا) قرار داده شده است.

Method	Computation Time (ms)	No. of Iterations
Jacubi	4310.667	7311
Point Gauss-seidel	2549.000	4391
Line Gauss-seidel (θ -sweep)	8939.667	3866
Line Gauss-seidel (r-sweep)	1791.000	989



تاریخ ارسال: ۹۹/۱۰/۴

باسمه تعالی

پروژه‌ی یک (نسخه نهایی)

دینامیک سیالات محاسباتی ۱

۶۵۸۳۰- گروه ۲

آقای دکتر کریم مظاهری

نیم سال اول سال تحصیلی ۱۳۹۹

دانشجو: سید محمدامین طالقانی

ش. دانشجویی: ۹۹۲۱۱۲۰۹

صفحه | 17

ADI	3308.000	850
Point Gauss-seidel SOR	151.333	235

ش. با توجه به جدول فوق بهینه‌ترین روش، روش فوق تخفیفی با اعمال بهینه‌ترین مقدار ω می‌باشد. البته لازم به ذکر است که همواره بدست آوردن مقدار بهینه‌ی این پارامتر کار ساده‌ای نیست، مخصوصاً اگر شبکه غیر مربعی و یا غیر یکنواخت باشد. در مرحله‌ی بعد، روش جاروب دوگانه (صرف‌نظر از ترتیب جاروب‌ها) بهینه‌ترین روش است و پس از آن روش جاروب خطی (در راستای شعاعی). روش گاوس-سایدل نقطه‌ای هرچند تکرار بیش‌تری نسبت به روش جاروب خطی در راستای مماسی دارد، اما زمان محاسبه‌ی آن حدوداً یک‌چهارم این روش است. بنابراین در جایگاه بعدی روش گاوس سایدل نقطه‌ای قرار می‌گیرد. روش جاروب خطی در راستای مماسی و روش ژاکوبی نیز به ترتیب در آخرین جایگاه قرار می‌گیرند.

مراجع

[۱] اصفهانیان، وحید. «دینامیک سیالات محاسباتی ۱». دانشگاه تهران